

การศึกษาเพื่อลดความรุนแรงในสภาวะชั่วขณะของการปลดลับตัวเก็บประจุในระบบจำหน่าย ของการไฟฟ้าส่วนภูมิภาค

Case Study of Reduce Violence in Transient for Capacitor Bank in PEA Distribution System

ฉลอง โสดาบัน¹ วิทยา ชัยสังคม² และ เวคิน ปิยรัตน์³

บทคัดย่อ

บทความนี้นำเสนองานการศึกษาเพื่อวิเคราะห์ท่าขันดาการเกิดความรุนแรงในสภาวะชั่วขณะอันเนื่องมาจากการปลดลับตัวเก็บประจุเข้ากับระบบจำหน่ายของสายส่งการไฟฟ้าส่วนภูมิภาคขนาด 22 kV และ 33 kV โดยทำการวิเคราะห์เพื่อหาแนวทางสำหรับการลดความรุนแรงด้วยการใช้ตัวแปรกรชั่วคราวในการแก้ปัญหาดังกล่าว สำหรับบทความนี้ใช้โปรแกรม ATP/EMTP ในการสร้างแบบจำลองเพื่อแสดงให้เห็นว่าสามารถลดทอนขนาดของความรุนแรงให้มีค่าลดลงอันเนื่องมาจากการกระแสและแรงดันชั่วขณะ สำหรับใช้เป็นแนวทางในการสร้างหรือพัฒนาเครื่องมืออุปกรณ์ในการปลดลับตัวเก็บประจุ โดยมุ่งเน้นให้เกิดความปลอดภัยแก่นักลักษณ์ผู้ปฏิบัติงานของการไฟฟ้า อีกทั้งยังสามารถลดต้นทุนนำเข้าเครื่องมือราคาแพงจากต่างประเทศได้อีกด้วย

คำสำคัญ : ระบบจำหน่าย, สภาวะชั่วขณะ, ตัวแปรกรชั่วคราว

Abstract

This paper presents a study of the analysis high fault transient while remove capacitors from a distribution system of 22 kV and 33 kV. In order to investigate and solve this problem, The power circuit topology is modeled by using ATP/EMTP software. The objective of this investigation is to construct the modeling for reducing a high fault during capacitors connected in the distribution system. The result shows that it can implement safety to product workers. Finally, It was able to reduce the cost and it is not necessary to import the equipment products from outsources.

Keyword : Distribution System , Transient , Pre-insertion

1. บทนำ

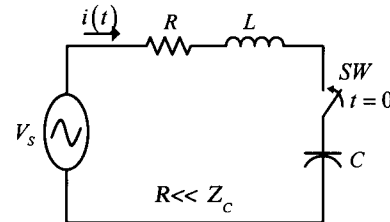
ปัจจุบันพลังงานไฟฟ้าได้เข้าไปมีบทบาทในชีวิตประจำวันของมนุษย์อย่างมาก แทนจะเรียกได้ว่า พลังงานไฟฟ้าเป็นส่วนหนึ่งของชีวิต เป็นพลังงานที่ใช้ในอาคารบ้านเรือน อาคารสำนักงานหรือแม้แต่โรงงาน อุตสาหกรรม ซึ่งเป็นหน่วยผลิตผลิตภัณฑ์ต่างๆ มากมาย ดังนั้นความต้องการพลังงานไฟฟ้าที่มีคุณภาพจึงเป็นสิ่งจำเป็น และถือเป็นภารกิจสำคัญของหน่วยงานที่มีหน้าที่ผลิตและจำหน่ายพลังงานไฟฟ้าทั้งนี้เพื่อคุณภาพและประสิทธิภาพของระบบจำหน่าย [1] หน่วยงานการไฟฟ้าจึงเป็นอย่างยิ่งที่ต้องออกแบบและพัฒนาให้ตรงกับความต้องการของผู้บริโภค และเนื่องจากในการปรับปรุงและรักษาคุณภาพพลังงานไฟฟ้าในขณะส่งจ่ายก็เป็นอีกปัจจัยหนึ่งเพื่อตอบสนองความต้องการของผู้ใช้ เช่นกัน ปัญหาหนึ่งสำหรับการปฏิบัติงานของบุคลากรผู้ปฏิบัติงานการไฟฟ้าในการซ่อมบำรุงระบบ คือ การนำรูดเดี่ยวหายของอุปกรณ์รวมถึงความปลดปล่อยของผู้ปฏิบัติงานซึ่งเป็นสาเหตุที่ไม่พึงประสงค์ ทั้งนี้ปัจจัยบางอย่างสามารถควบคุมได้และบางอย่างไม่สามารถควบคุมได้ ตัวอย่างหนึ่งที่บทความนี้ให้ความสนใจ คือ การลดภาวะความรุนแรงขณะปลดสัมตัวเก็บประจุในระบบจำหน่าย ซึ่งเกิดจากการกระชากของกระแสแล้วและพิกัดแรงดันเกินโดยอาจก่อให้เกิดอันตรายต่อพนักงานการไฟฟ้าที่ปฏิบัติงานจะทำการปลดสัมในขณะที่มีการจ่ายกระแสไฟฟ้า ดังนั้นสิ่งหนึ่งที่มีปัญหาตามมา คือ การนำรูดเดี่ยวหายของอุปกรณ์ เช่น ครอบเอาท์ฟิวส์ หรือตัวเก็บประจุ ซึ่งโดยส่วนใหญ่เกิดจากปัญหาการอาจรักหรือการเกิดประกายไฟขนาดรุนแรงโดยในบางครั้งอาจเกิดอันตรายต่อตัวผู้ปฏิบัติงานด้วย

บทความนี้จึงมีความสนใจเพื่อศึกษาและวิเคราะห์องค์ประกอบที่ก่อให้เกิดความรุนแรงและแนวทางการแก้ไขปัญหาความรุนแรง รวมถึงแนวทางการพัฒนาเครื่องมือ อุปกรณ์ หรือวัสดุอื่นๆ ที่สามารถลดผลกระทบของความรุนแรงให้น้อยลงทั้งนี้เพื่อวัตถุประสงค์ให้เกิดความปลอดภัยกับผู้ปฏิบัติงานเป็นหลัก

2. ทฤษฎีพื้นฐาน

2.1 การวิเคราะห์กลไกปลดสัมสวิตช์ตัวเก็บประจุ[2]

ในระบบจำหน่ายของการไฟฟ้า จำเป็นอย่างยิ่งที่ต้องรักษาระดับคุณภาพและเสถียรภาพของระบบจำหน่าย โดยที่ตัวเก็บประจุจะต้องมีคุณภาพที่ดีและมีอายุการใช้งานที่ยาวนาน ด้วยคือ การสัมตัวเก็บประจุเพื่อปรับปรุงตัวประกอบกำลัง เพื่อให้ระบบมีคุณภาพและศักยภาพเพื่อจำหน่ายให้กับผู้บริโภค โดยสามารถเขียนวงจรสมมูลดังแสดงในรูปที่ 1



รูปที่ 1 วงจรสมมูลอย่างง่ายของการปลดสัมตัวเก็บประจุ

เมื่อ V_s = A.C. Voltage Source คือ แหล่งจ่ายแรงดันไฟฟ้ากระแสสลับ

R = Resistance คือ ค่าความต้านทานของสายในระบบจำหน่าย

L = Inductance คือ ค่าความเหนี่ยวแน่นของสายในระบบจำหน่าย

C = Capacitance คือ ค่าความสามารถในการเก็บประจุของตัวเก็บประจุ

Z_c = $\sqrt{L/C}$ คือ ค่า Surge Impedance ($R \ll Z_c$)

จากรูปที่ 1 เป็นวงจรสมมูลของการสัมสวิตช์ตัวเก็บประจุใช้กับระบบจำหน่าย โดยมีแหล่งจ่ายแรงดันไฟฟ้ากระแสสลับต่ออนุกรมกับโหลด RLC โดยสามารถวิเคราะห์ห้องรสมากาช่องของวงจรอันดับสอง ดังนี้คือ

$$V_R + V_L + V_C = V_s \quad (2.1)$$

เมื่อ

$$iR + L \frac{di}{dt} + \frac{1}{C} \int i dt = V_s \quad (2.2)$$

และ

$$L \frac{d^2 i}{dt^2} + R \frac{di}{dt} + \frac{1}{C} = \frac{dV_s}{dt} \quad (2.3)$$

โดยหาผลตอบสนองทางธรรมชาติ ไม่พิจารณาแหล่งจ่ายในสภาวะเริ่มต้นมีค่าเป็นศูนย์ จะได้ว่า

$$Ls^2 + Rs + \frac{1}{C} = 0 \quad (2.4)$$

จากสมการที่ (2.4) หารด้วยค่า L จะได้

$$s^2 + \frac{R}{L}s + \frac{1}{LC} = 0 \quad (2.5)$$

จัดรูปสมการใหม่โดยกำหนดให้ $\alpha = \frac{R}{2L}$ และ $\omega_d = \frac{1}{\sqrt{LC}}$ จะได้

$$s^2 + 2\alpha s + \omega_d^2 = 0 \quad (2.6)$$

จากสมการที่ (2.6) มีคำตอบ 2 ค่า คือ s_1 และ s_2 ดังนี้

$$s_1 = -\alpha + \sqrt{\alpha^2 - \omega_d^2} \quad (2.6 \text{ ก})$$

$$s_2 = -\alpha - \sqrt{\alpha^2 - \omega_d^2} \quad (2.6 \text{ ข})$$

เมื่อพิจารณาคำตอบทั้ง 2 พนว่าสามารถแบ่งได้เป็น 3 กรณี คือ

$$f_n(t) = A_1 e^{s_1 t} + A_2 e^{s_2 t} \quad (2.7)$$

$$f_n(t) = (A_1 t + A_2) e^{-st} \quad (2.8)$$

$$f_n(t) = B e^{-\alpha t} \sin(\omega_d t + \beta) \quad (2.9)$$

จากสมการที่ (2.2) พิจารณาแหล่งจ่ายแรงดันไฟฟ้ากระแสสลับ $V_s = V_m \sin(\omega t + \alpha)$ จะได้

$$Rif + L \frac{dif}{dt} + \frac{1}{C} \int if dt = V_m \sin(\omega t + \alpha) \quad (2.10)$$

ดังนั้น

$$\frac{dif}{dt} = A \omega \cos(\omega t + \alpha) - B \omega \sin(\omega t + \alpha) \quad (2.11)$$

และ

$$\int if dt = -\frac{A}{\omega} \cos(\omega t + \alpha) + \frac{B}{\omega} \sin(\omega t + \alpha) \quad (2.12)$$

กำหนดให้ $Z = \sqrt{R^2 + X^2}$ จะได้ผลตอบสนองบังคับของกระแส

$$if(t) = \frac{V_m}{Z} \sin(\omega t + \alpha - \theta) \quad (2.13)$$

และผลตอบสนองทางเวลาของกระแส คือ

$$i(t) = if(t) + i_n(t) \quad (2.14)$$

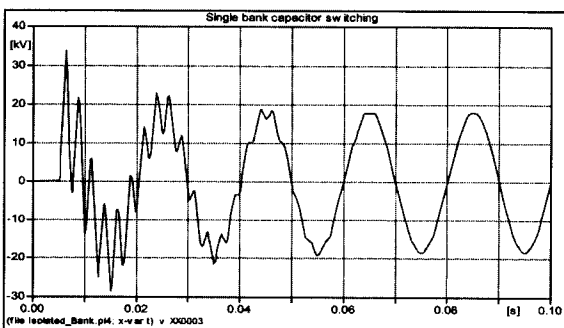
2.2 แนวทางการปลดล็อกสัมสวิตช์ตัวเก็บประจุ[3]

สำหรับแนวทางการสัมสวิตช์ตัวเก็บประจุมีอยู่ด้วยกันหลายแนวทาง ทั้งนี้เพื่อวัตถุประสงค์ให้สามารถยกระดับแรงดันกรณีสายสั่งมีระบบทางไกลามากทำให้เกิดแรงดันคงที่ให้แรงดันปลายสายมีขนาดต่ำกว่ามาตรฐาน รวมถึงการปรับปรุงด้วยการกำหนดค่าระบบไฟฟ้าเพื่อลดกำลังไฟฟ้าสูญเสียทำให้สามารถรับภาระได้สูงขึ้นด้วย [4] สำหรับแนวทางการสัมสวิตช์ตัวประกอบกำลังมีอยู่ด้วยกันหลายวิธีเช่น รีเซกเตอร์ สำหรับจำกัดกระแส การปิดแบบซิงโครนัส หรือการใช้ตัวแทรกซั่วครัว โดยในบทความนี้นำเสนอการใช้ตัวแทรกซั่วครัว [5] ดังแสดงในลำดับต่อไป

2.3 การปลดล็อกสัมสวิตช์ตัวเก็บประจุ

การสัมสวิตช์ตัวเก็บประจุที่มีแหล่งกำเนิดเป็นความเร่งเนียวนำสูง ดังแสดงในรูปที่ 1 จะทำให้เกิดการสั่นชั่วขณะ ซึ่งอาจมีขนาดสูงถึงสองเท่าของระดับแรงดัน

สูงสุดและมีความถี่ประมาณ 300–1000 Hz และมีขนาดแรงดันเกินประมาณ 1.1–1.6 pu



รูปที่ 2 ขนาดแรงดันเกินเนื่องจากการปลดสับสวิตช์ตัวเก็บประจุในระบบที่มีความหน่วงนำสูง

รูปที่ 2 แสดงตัวอย่างการเกิดแรงดันเกินชั่วขณะเนื่องจากการสับสวิตช์ตัวเก็บประจุในระบบจำหน่าย อย่างไรก็ตามแรงดันเกินชั่วขณะทำให้ไม่เกิดปัญหาในการใช้งานของผู้บริโภคไม่นานก็แต่ปัญหาที่ต้องพิจารณาคือ กระแสกระแสจากขนาดสูง (High Inrush Current) แรงดันเกิน (Over Voltage) ซึ่งโดยทั่วไปปัจจัยการเกิดจะขึ้นอยู่กับลักษณะของระบบแต่ละระบบ ปกติแรงดันเกินจะมีขนาด 1.6 pu [6] ของแรงดันปกติ โดยอุปกรณ์ในระบบต้องทนขนาดพิกัดแรงดันเกินและกระแสเกินนี้ได้ หรืออาจขึ้นอยู่กับวิธีการเลือกใช้การจำกัดค่าที่เหมาะสม

2.4 วิธีการลดผลกระทบจากการสับสวิตช์ตัวเก็บประจุในสภาวะชั่วขณะ

2.4.1 รีแอคเตอร์สำหรับจำกัดกระแส (Current Limiting Reactor)

ปกติจะใช้ลดกระแสในสภาวะชั่วขณะ แต่จะไม่สามารถลดแรงดันเกินที่มีความหน่วงระยะไกล โดยติดตั้งตัวเหนี่ยวนำค่าคงที่ชนิดดาวพิกัดต่ำๆ เพื่อควบคุมกระแสกระแสจากจะทำการสับสวิตช์ช้า ซึ่งขนาดที่ใช้

ได้ผลมักมีขนาดใกล้เคียงกับค่าความหน่วงนำของระบบสำหรับใช้งานต่อเนื่องซึ่งมีขนาดใหญ่และราคาแพง

2.4.2 เทคนิคการปิดแบบชิงโกรนัส

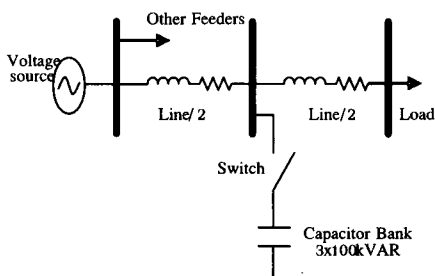
เทคนิคการปิดแบบชิงโกรนัส คือ การสับสวิตช์หน้าสัมผัสของแต่ละเฟสเมื่อแรงดันขนาดใกล้สูงซึ่งจำเป็นต้องใช้อุปกรณ์ที่ทนแรงดันได้จนปิดสวิตช์สำเร็จแต่ความถูกต้องแม่นยำมากทำได้ยาก เนื่องจากมีปัจจัยอื่นจากภายนอก เช่น สภาวะแวดล้อม ดินฟ้าอากาศ ตลอดจนเงื่อนไขการควบคุมที่ยุ่งยากซับซ้อนและราคาแพง

2.4.3 ตัวแทรกชั่วคราว (Pre-Insertion)

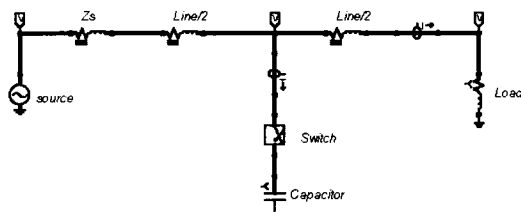
ตัวแทรกชั่วคราวทั้งแบบความต้านทานหรือแบบขาด漉วงเห็นี่ยวนำ ให้ความสำคัญในการลดตอนกระแสและแรงดันเกินชั่วขณะ เหมาะกับการสับตัวเก็บประจุ ขนาดตัวต้านทานจะถูกลัดวงจรอย่างรวดเร็วหลังเกิดแรงดันเกินจึงเป็นสาเหตุให้เกิดแรงดันเกินครั้งที่สอง แรงดันเกิดจากการแทรก (Insertion) ครั้งสุดท้ายมักเกิน 1 ลูกคืน สามารถของตัวแทรกจะถูกประเมินโดยการนำเข้าและลดตอนสัญญาณแรงดันเกินอีกทั้งความสามารถในการกระจายพลังงานที่เหมาะสมกับเหตุการณ์และการเกิดชั่วของเหตุการณ์ ดังนั้นบทความนี้จึงสนใจที่จะศึกษาเพื่อลดตอนความรุนแรงโดยใช้กต ิกาการใช้ตัวแทรกชั่วคราว

3. วิธีการทดลอง

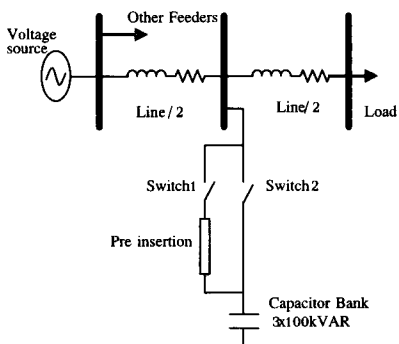
บทความนี้ทำการทดลองโดยการจำลองแบบจากระบบจำหน่ายสายสั้น 22 kV และ 33 kV ของการไฟฟ้าส่วนภูมิภาค โดยจำลองกับโปรแกรม ATP เวอร์ชัน 5.0 เป็นแบบจำลองโดยกำหนดเงื่อนไขเพื่อคำนวณพารามิเตอร์ต่างๆ เพื่อป้อนเป็นข้อมูลในโปรแกรมโดยมีผังวงจรด้านเดียวดังแสดงในรูปที่ 3 และผังวงจรในแบบจำลองดังรูปที่ 4



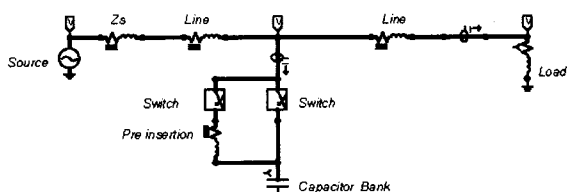
รูปที่ 3 แผนผังวงจรเส้นเดียวของระบบจำหน่ายไม่มีตัวแทรกชั่วคราว



รูปที่ 4 แผนผังวงจรจากโปรแกรม ATP ไม่มีตัวแทรกชั่วคราว



รูปที่ 5 แผนผังวงจรเส้นเดียวของระบบจำหน่ายมีตัวแทรกชั่วคราว



รูปที่ 6 แผนผังวงจรจากโปรแกรม ATP มีตัวแทรกชั่วคราว

รูปที่ 3 และ รูปที่ 4 เป็นผังวงจรเส้นเดียวที่ไม่มีตัวแทรกชั่วคราวและรูปที่ 5 และรูปที่ 6 เป็นผังวงจรเส้นเดียวที่มีตัวแทรกชั่วคราว ขนาดตัวเก็บประจุ 3×100 kVAR และข้อมูลของระบบจำลองแสดงดังตารางที่ 1

ตารางที่ 1 ข้อมูลของระบบจำลองระบบจำหน่าย

อุปกรณ์	ชนิด	$R(\Omega/km/\phi)$	$X(\Omega/km/\phi)$	$Z(\Omega/km/\phi)$
แหล่งจ่ายไฟฟ้า	22 kV	0.0554664	7.7249304	24.579324
สายจำหน่าย (Line)	PIC_22_186	0.210655	0.414406	1.319095
ตัวเก็บประจุ (Capacitor)	3×100 kVAR_22kV	-	1612.9	$R(\Omega/km/\phi)$
ภาระทางไฟฟ้า (Load)	7.8 MW 4.8 MVAR_22kV	62.05128	100.83334	320.9625

4. ผลการทดสอบ

ผลการทดสอบได้ดำเนินการทดสอบเบรี่ยนเป็นสามกรณี กล่าวคือ ทดสอบแบบไม่มีตัวแทรกชั่วคราว แบบมีตัวแทรกชั่วคราวเป็นตัวด้านท่านอย่างเดียว และแบบมีตัวแทรกชั่วคราวเป็นตัวด้านท่านและตัวเหนี่ยวนำร่วมกัน โดยผลการทดสอบแสดงดังตารางที่ 2 และตารางที่ 3 ตามลำดับ

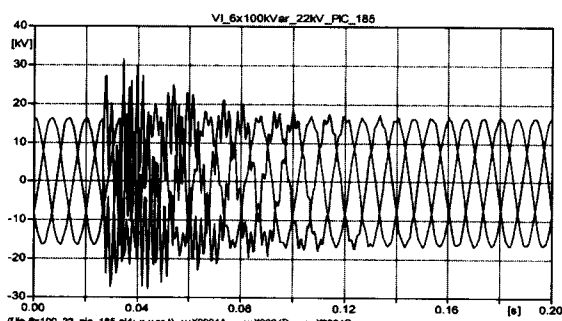
ตารางที่ 2 ค่าแรงดันสูงสุด kV (peak) แต่ละกรณีที่ทำการศึกษาสำหรับระบบ 22 kV

กรณีทดสอบ	ค่าแรงดันสูงสุด kV (peak)		
	ไฟสี A	ไฟสี B	ไฟสี C
ไม่มีตัวแทรกชั่วคราว	-27.309	30.051	34.283
มีตัวแทรกชั่วคราว ชนิด ความด้านท่านอย่างเดียว ($R=130 \Omega, L=0 mH$)	-17.889	22.165	23.050
มีตัวแทรกชั่วคราว ชนิด ความด้านท่านร่วมตัวเหนี่ยวนำ ($R=130 \Omega, L=70 mH$)	-19.538	19.331	19.520
มีตัวแทรกชั่วคราว ชนิด ความด้านท่านร่วมตัวเหนี่ยวนำ ($R=1 \Omega, L=100 mH$)	-24.005	23.831	22.106

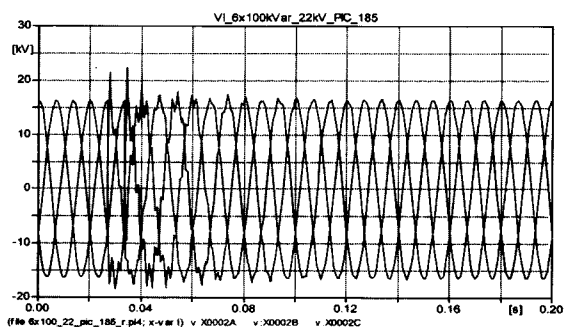
ตารางที่ 3 ค่าแรงดันสูงสุด kV (peak) แต่ละกรณีที่ทำการศึกษาสำหรับระบบ 33 kV

กรณีทดสอบ	ค่าแรงดันสูงสุด kV (peak)		
	ไฟส. A	ไฟส. B	ไฟส. C
ไม่มี ตัวแทนกรชั่วคราว	-38.954	-40.533	42.153
มี ตัวแทนกรชั่วคราว ชนิด ความต้านทานอย่างเดียว ($R=130 \Omega, L=0 \text{ mH}$)	-31.782	-33.918	35.162
มี ตัวแทนกรชั่วคราว ชนิด ความต้านทานร่วมตัวหนี่ยวนำ ($R=130 \Omega, L=70 \text{ mH}$)	-32.643	-33.646	34.128
มี ตัวแทนกรชั่วคราว ชนิด ความต้านทานร่วมตัวหนี่ยวนำ ($R=1 \Omega, L=100 \text{ mH}$)	-34.734	-31.211	30.985

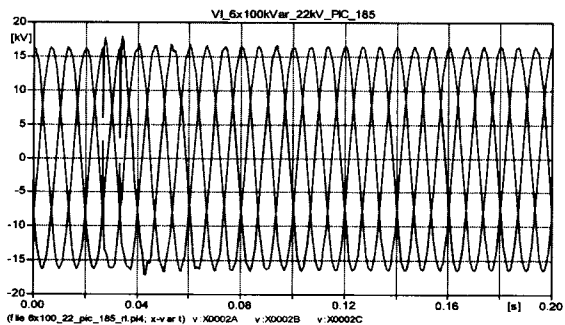
จากตารางที่ 2 และ ตารางที่ 3 การสับสวิตช์แบบมีตัวแทนกรชั่วคราวสามารถลดขนาดแรงดันสูงสุดที่เกิดขึ้นให้มีค่าน้อยลงทั้งแบบที่เป็นความต้านทานอย่างเดียวและแบบตัวหนี่ยวนำร่วมกับตัวต้านทาน ทั้งนี้แบบที่ใช้ร่วมกันสามารถลดTHONระดับแรงดันสูงสุดได้มากกว่าทั้งสองแบบและเมื่อพิจารณาปัจจัยภายนอก เช่น ระยะห่างระหว่างตัวต้านทาน ความถี่ของสัญญาณ ความต้านทานของตัวต้านทาน ความต้านทานของตัวหนี่ยวนำ ฯลฯ ผลการลดTHONจะดีขึ้นเมื่อเพิ่มความต้านทานของตัวต้านทานและลดขนาดตัวต้านทาน



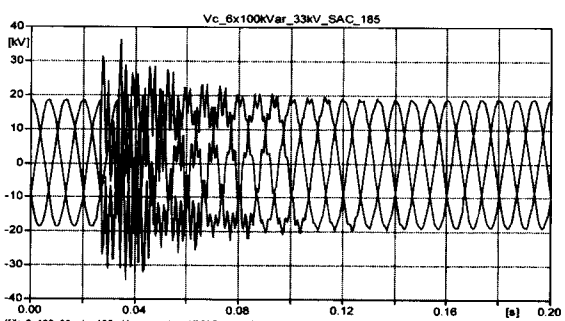
รูปที่ 7 ค่าแรงดันของกระแสไฟฟ้าในระบบ 22 kV สาย PIC_185 กรณีไม่มีตัวแทนกรชั่วคราว



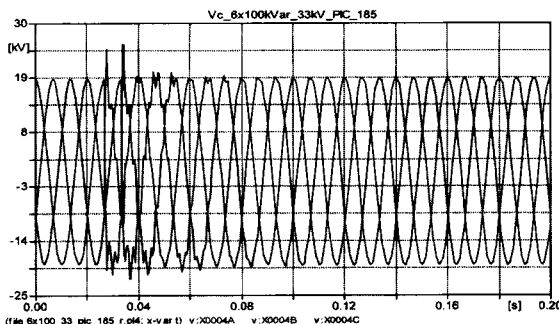
รูปที่ 8 ค่าแรงดันของกระแสไฟฟ้าในระบบ 22 kV สาย PIC_185 กรณีมีตัวแทนกรชั่วคราวชนิดตัวต้านทาน (R)



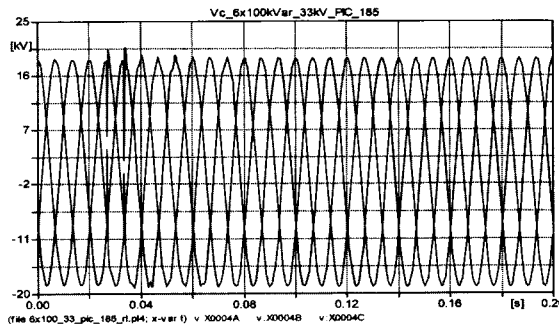
รูปที่ 9 ค่าแรงดันของกระแสไฟฟ้าในระบบ 22 kV สาย PIC_185 กรณีมีตัวแทนกรชั่วคราวชนิดตัวต้านทานร่วมกับตัวหนี่ยวนำ (RL)



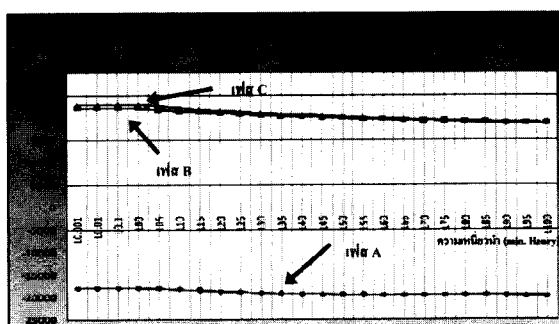
รูปที่ 10 ค่าแรงดันของตัวเก็บประจุในระบบ 33 kV สาย PIC_185 กรณีไม่มีตัวแทนกรชั่วคราว



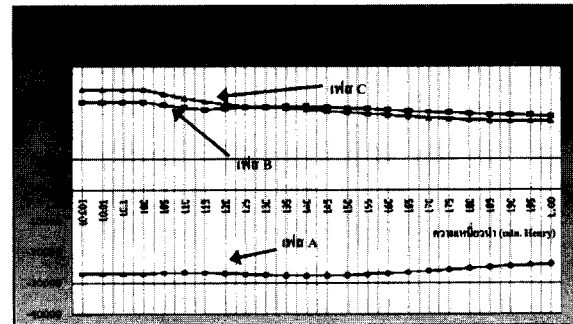
รูปที่ 11 ค่าแรงดันของตัวเก็บประจุในระบบ 33 kV สาย PIC_185 กรณีมีตัวแปรกรชั่วคราว ชนิดตัวต้านทาน (R)



รูปที่ 12 ค่าแรงดันของตัวเก็บประจุในระบบ 33 kV สาย PIC_185 กรณีมีตัวแปรกรชั่วคราว ชนิดตัวต้านทานร่วมกับตัวเหนี่ยวนำ (RL)



รูปที่ 13 ค่าแรงดันเปรียบเทียบของตัวเก็บประจุสูงสุดแต่ละเฟส กรณีมีตัวแปรกรชั่วคราว เป็นตัวต้านทานร่วมกับตัวเหนี่ยวนำ (R=130 W, L ค่าต่างๆ)



รูปที่ 14 ค่าแรงดันเปรียบเทียบของตัวเก็บประจุสูงสุดแต่ละเฟส กรณีมีตัวแปรกรชั่วคราว เป็นตัวต้านทานร่วมกับตัวเหนี่ยวนำ ($R=1$ W, L ค่าต่างๆ)

5. สรุป

การศึกษาเพื่อลดความรุนแรงในการปลดสับตัวเก็บประจุเพื่อการปรับปรุงตัวประกอบกำลังของระบบส่งจ่ายไฟฟ้าของการไฟฟ้าส่วนภูมิภาค ทำให้สามารถลดขนาดความรุนแรงได้ทั้งระบบ 22 kV และ 33 kV โดยจากข้อมูลที่ได้จากการทดสอบเพื่อเปรียบเทียบแบบที่มีตัวแปรกรชั่วคราวกับแบบที่ไม่มีตัวแปรกรชั่วคราว สามารถลดขนาดความรุนแรงได้ประมาณ 15–20% ของขนาดพิกัดแรงดันสูงสุด ซึ่งเกิดขึ้นทุกๆ เฟสในขนาดพิกัดไกล์เดียว กับโดยเฉพาะอย่างยิ่งขนาดพิกัดที่มีความรุนแรงน้อยลงและเมื่อเปรียบเทียบขนาดการเกิดความรุนแรงระหว่างแบบไม่มีตัวแปรกรชั่วคราวกับแบบที่ใช้ตัวแปรกรชั่วคราวขนาดความรุนแรงจะลดลงอย่างชัดเจนดังแสดงในรูปที่ 7–12 เมื่อใช้ตัวแปรกรชั่วคราวแบบความต้านทานร่วมกับตัวเหนี่ยวนำ ทั้งนี้เมื่อพิจารณาจากการทดสอบจะพบว่าขนาดความรุนแรงจะน้อยลงที่ค่าความหนึ่งเหนี่ยวนำที่เหมาะสมและจะมีผลกับค่าเวลาที่เหมาะสมด้วย เช่นเดียวกัน ดังนั้นผู้ออกแบบจึงควรพิจารณาค่าความต้านทานและค่าความหนึ่งเหนี่ยวนำที่ใช้ร่วมกัน โดยคำนึงถึงช่วงเวลาชั่วขณะไม่ให้ใช้เวลามากเกินไป ซึ่งจากการทดสอบใช้เวลาประมาณ 0.03 วินาที จึงจะสามารถปรับประยุกต์ใช้ได้กับงานที่เหมาะสม และลดผลกระทบอื่นๆ

ลงเพื่อทำให้เกิดความปลดภัยกับผู้ปฏิบัติงานการไฟฟ้า ตลอดจนลดค่าใช้จ่ายในการบำรุงรักษาอันเนื่องมาจาก การชำรุดของอุปกรณ์จากสาเหตุดังกล่าววนอกเหนือจาก นั้นยังสามารถนำข้อมูลที่นี้ฐานจากการทดสอบนี้ไปใช้ สำหรับออกแบบและสร้างสตูหรือเครื่องมืออุปกรณ์เพื่อ การพัฒนาต่อไปอีกด้วย

กิตติกรรมประกาศ

คณะผู้จัดทำของบุคลิกภาพกรรมการวิจัย แห่งชาติมีให้การสนับสนุนเงินทุนวิจัยจนแล้วเสร็จ สมบูรณ์ และมหาวิทยาลัยศรีนครินทรวิโรฒที่ให้ การสนับสนุนข้อมูลดำเนินการต่างๆ ณ โอกาสหนึ่งด้วย

เอกสารอ้างอิง

- [1] Arie L. Shenkman. Transient Analysis of Electric Power Circuits Handbook. Springer, Netherlands, 2005.
- [2] กองแผนงานระบบไฟฟ้า ฝ่ายวางแผนระบบไฟฟ้า การไฟฟ้าส่วนภูมิภาค. ค่ากระแสสัตห่วงจรใน ระบบไฟฟ้าของ กฟภ. ปี 2550 (2007), การไฟฟ้าส่วนภูมิภาค, 2550.
- [3] Thomas E. Grebe. Application of Distribution System Capacitor Banks and Their Impact on Power Quality. IEEE Transactions on industry applications, Vol.32, No.3, May / June 1996.
- [4] M.F.Mcgranaghan , R.M.Zavadil , Impact of utility switched capacitors on customer systems magnification at low voltage capacitors. IEEE Transactions on Power Delivery, Vol.7, No.2, April 1992.
- [5] Michael Beanland, Thomas Speas, Joe Rostron, Pre-Insertion Resistors in High Voltage Capacitor Bank Switching, Western Protective Relay Conference October 19–21, 2004
- [6] IEEE 1159-1995; IEEE Recommended Practice for Monitoring Electric Power Quality , Institute of Electrical and Electronics Engineers / 01-May-1995 / 80 pages